

# **Watch Out**

## **——基于联邦学习的智慧车联网系统**

（集分心驾驶检测、路面目标检测和联邦学习于一体）

### **作品设计文档**

2023 年 8 月

# 目录

1	作品介绍.....	1
1.1	联邦学习在车联网系统中的应用和价值.....	1
1.2	系统目标 and 功能.....	2
2	系统架构.....	3
2.1	需求分析.....	3
2.2	系统总体结构.....	3
2.2.1	车载终端/客户端部分.....	4
2.2.2	车联网服务器端部分.....	5
2.2.3	数据库部分.....	6
2.3	主要组件的功能和作用.....	7
3	该车联网系统中的联邦学习.....	9
3.1	联邦学习具体流程.....	9
3.2	应用于该系统的联邦学习隐私保护算法.....	10
3.2.1	MPC 算法流程.....	10
3.2.2	LDP 算法流程.....	11
3.2.3	隐私保护算法对联邦学习模型性能影响分析.....	12
3.3	应用于该系统的联邦学习模型压缩算法.....	13
3.3.1	上传模型压缩.....	13
3.3.2	下载模型压缩.....	14
4	分心驾驶检测.....	16
4.1	分心驾驶检测的原理和方法.....	16
4.2	分心驾驶检测的具体流程和算法.....	16
4.2.1	数据集.....	16
4.2.2	数据预处理.....	17
4.2.3	系统识别模型.....	18
4.2.4	识别模型性能分析.....	19
4.3	分心驾驶检测结果分析.....	20
4.3.1	评价指标.....	20
4.3.2	结果与分析.....	20
5	路面目标检测.....	22
5.1	路面目标检测的原理和方法.....	22
5.2	YOLOv5s 网络结构.....	22
5.2.1	输入端.....	23
5.2.2	主干网络.....	23
5.2.3	颈部网络.....	25
5.2.4	预测网络.....	25
5.3	路面目标检测的具体流程.....	26
5.3.1	数据集.....	26
5.3.2	模型参数设置.....	26
5.4	路面目标检测结果分析.....	27
5.4.1	评价指标.....	27

5.4.2	该系统路面目标识别结果 .....	27
5.4.3	结果分析 .....	29
6	系统界面展示 .....	30
6.1	服务器端主要功能界面 .....	30
6.2	客户端主要功能界面 .....	32
7	系统创新点和应用前景 .....	35
7.1	系统创新点 .....	35
7.2	系统应用场景 .....	36
7.3	系统应用前景和发展方向 .....	36
8	总结 .....	38

## 1 作品介绍

我们的作品名为 Watch Out，是一个**基于联邦学习的智慧安全车联网系统**，主要功能包括**分心驾驶检测和路面目标检测**。该系统利用车联网技术实现车辆之间的信息共享和模型训练，同时使用了隐私保护算法来保护数据隐私安全，使用了通信压缩算法来降低联邦学习过程中的通信开销。通过使用分心驾驶检测和路面目标检测技术，该系统可以实时监测驾驶员的分心驾驶行为并预警道路情况，提高驾驶员的安全性和行驶效率。同时，该系统还可以通过智能化的数据处理和分析，为交通管理部门提供实时的交通流量和路况信息，帮助其进行交通调度和管理。

### 1.1 联邦学习在车联网系统中的应用和价值

联邦学习是一种在分布式系统中进行机器学习的技术，它可以在不将数据集从客户端发送到中央服务器的情况下进行模型训练和更新，从而保护数据隐私和安全性。在车联网系统中，联邦学习可以为各个车辆和设备之间的数据共享提供解决方案，使车联网系统能够更加高效、安全地进行数据交换和分析。下面是联邦学习在车联网系统中的应用和价值：

#### （1）提高模型准确率和可靠性

联邦学习可以将多个设备上的数据汇集起来进行模型训练，有效地提高模型的准确率和可靠性。在车联网系统中，例如针对疲劳驾驶检测和路面目标检测等任务，联邦学习可以将各个车辆和设备上的数据汇集起来进行模型训练，从而提高检测的准确率和可靠性。

#### （2）保护数据隐私和安全性

联邦学习可以在不将数据从客户端发送到中央服务器的情况下进行模型训练和更新，从而有效地保护数据隐私和安全性。在车联网系统中，各个车辆和设备上的数据可能包含一些敏感信息，例如车辆的位置信息和驾驶员的个人信息等，采用联邦学习可以避免数据泄露的风险。

#### （3）降低通信成本和能耗

联邦学习可以减少数据传输和处理的需求，从而降低通信成本和能耗。在车联网系统中，由于数据量庞大且需要实时处理，传统的集中式机器学习需要大量的数据传输和计算资源，采用联邦学习可以降低通信成本和能耗。

#### （4）改善系统的扩展性和可拓展性

联邦学习可以支持异构的设备和数据集，从而改善系统的扩展性和可拓展性。在车联网系统中，由于不同的车辆和设备可能具有不同的数据格式和数据类型，采用联邦学习可以有效地解决这一问题，支持更加灵活的数据共享和分析。

总之，联邦学习在车联网系统中具有重要的应用和价值，它可以为车联网系统提供更加高效、安全、可靠的数据共享和分析解决方案，促进车联网系统的发展和应用。因此我们该作品基于联邦学习实现了一款安全性高、通信开销小的用于分心驾驶检测和路面目标检测的智慧车联网系统。

## 1.2 系统目标和功能

这个基于联邦学习的车联网系统的主要目标是提高驾驶员的安全性和行驶效率，同时可以为交通管理部门提供实时的交通流量和路况信息，帮助其进行交通调度和管理。并且在此过程中要注意保护用户的隐私数据，同时尽量减少数据通信的开销。系统通过采用隐私保护算法和通信压缩算法，使得在联邦学习过程中，车辆之间可以进行模型参数共享和模型训练，同时保护用户隐私，降低数据通信的开销，从而提高模型的准确性和鲁棒性。

系统的分心驾驶检测功能是通过使用车载摄像头等设备来监测驾驶员的行为，识别其是否分心或疲劳，从而预警驾驶员并帮助其保持集中注意力。在这个功能中，系统采用了深度学习和计算机视觉等技术，通过训练深度神经网络来识别驾驶员的面部表情、眼部活动等特征，并根据这些特征来判断驾驶员是否存在分心或疲劳行为。如果系统检测到驾驶员的注意力开始分散或者出现疲劳情况，系统将发出警报以提醒驾驶员。这个功能可以有效地降低交通事故的发生率，并为驾驶员提供更加安全和舒适的驾驶体验。

系统的路面目标检测功能主要是通过车载摄像头等设备来检测道路上的车辆、行人等目标，提供实时的路况信息，帮助驾驶员做出更加明智的行驶决策。在这个功能中，系统同样采用了深度学习和计算机视觉等技术，通过训练深度神经网络来识别道路上的目标，并根据这些目标来提供实时的路况信息和交通情报。通过这个功能，驾驶员可以更好地了解道路情况，并做出更加明智和安全的行驶决策。

除了上述功能之外，系统还采用了联邦学习技术来实现车辆之间的信息共享和模型训练，从而提高了模型的准确性和鲁棒性。联邦学习技术可以在保护数据隐私和安全的前提下，实现分布式的模型训练和更新，同时避免数据集中式训练所带来的隐私泄露和数据泄露风险。

## 2 系统架构

### 2.1 需求分析

对于该基于联邦学习的车联网系统，其具体需求主要从以下几个方面考虑：

（1）功能需求：该系统主要功能包括分心驾驶检测和路面目标检测，同时还需要支持安全可靠的联邦学习，方便系统模型更新换代。其中，分心驾驶检测需要对驾驶员的状态进行实时监测，以便及时发出警报提醒；路面目标检测需要实时检测道路上的车辆和行人情况，以便驾驶员及时采取措施。同时，在联邦学习过程中，为了确保数据隐私安全，系统需要采用隐私保护算法，并对通信数据进行压缩以降低通信成本和延迟。

（2）可靠性需求：由于车联网系统在实际使用中会受到各种不同的干扰，因此该系统需要具备高可靠性，确保在不同的环境下都能够正常运行。系统需要及时发出警报以提醒驾驶员注意安全，同时需要按时对数据进行备份以防数据丢失。

（3）安全性需求：车联网系统涉及到多个车辆的数据共享，因此系统需要具备较高的安全性，确保数据在共享过程中不被泄露。同时，系统需要对驾驶员的个人信息进行保护，以确保其隐私不被泄露。

（4）用户友好性需求：为了方便驾驶员使用，系统需要具备用户友好性，能够提供简单易用的界面，以及明确清晰的操作指导。

（5）可扩展性需求：为了满足不同用户的需求，系统需要具备可扩展性，能够方便地添加新的驾驶辅助功能，以及支持不同的车型和设备；当有新的数据集或者更好性能的模型出现时，系统能对模型进行重新训练来更新迭代。同时，系统还需要具备良好的兼容性，能够与其他车载设备进行连接。

（6）性能需求：系统需要具备较高的性能，能够快速地进行数据处理和分析。同时，系统还需要具备较低的延迟和较高的通信速度，以保证数据的实时性和准确性。

### 2.2 系统总体结构

该系统主要由三部分组成：车载终端/客户端、车联网服务器端和数据库，如图 2-1 所示。其中，车载终端/客户端部分为布置在汽车上的摄像头或传感器以及车载智能终端等部件，摄像头或传感器把捕捉到的信息传给车载智能终端进行处理并决策，车载智能终端还能与服务器端通信进行联邦学习任务并把训练好的模型布置到本地终端中进行

相关检测任务，满足上述功能需求和可扩展性需求；我们还为客户端设计了简洁的前端界面，便于用户操作，具体界面将会在第六章中展示，满足了用户友好性需求；同时，分心驾驶检测和路面目标检测分别使用的是网络结构较简单，计算速度较快且识别准确率较高的 MobileNetV3 和 YoloV5 模型，满足系统的性能需求。服务器端会在联邦学习过程中向各客户端下发联邦学习任务 and 全局模型参数并进行联邦聚合任务等，在联邦学习过程中使用了多方安全计算（MPC）和本地差分隐私（LDP）隐私保护算法来满足系统的安全性需求。同时，系统还设计了相应的数据库来存储接入系统的车辆信息、司机在行驶过程中的检测日志以及检测出的异常行为等信息，对数据进行备份，满足系统的可靠性需求。

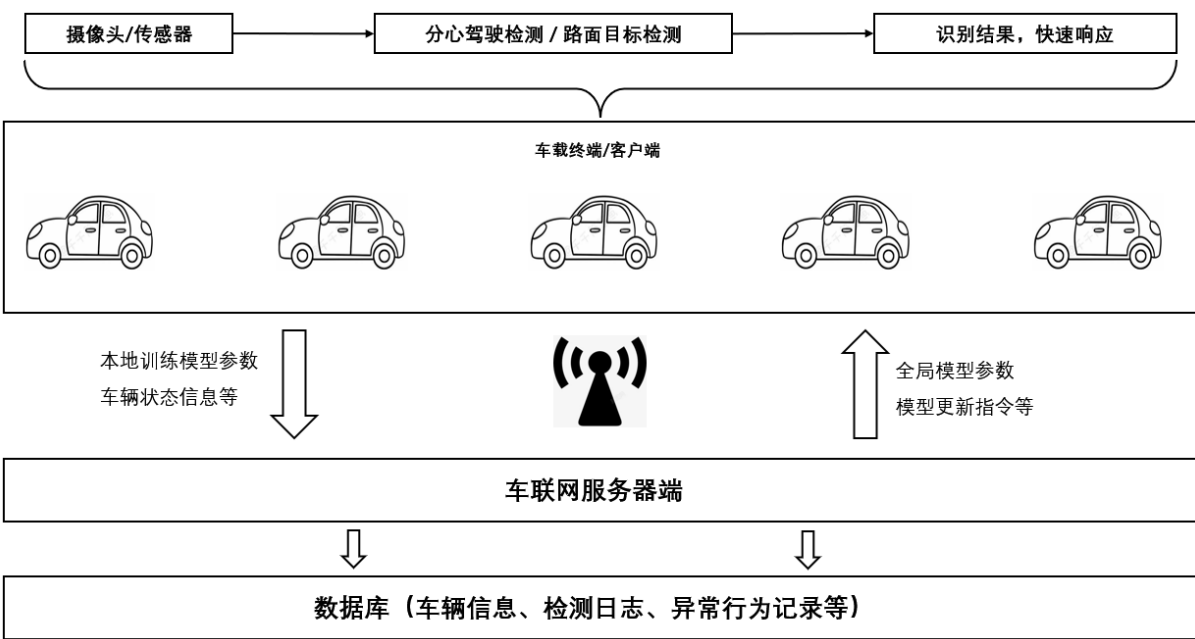


图 2-1 系统总体架构图

2.2.1 车载终端/客户端部分

在每辆车上，车载设备负责收集和处理车辆的数据，如车辆的位置、速度、行驶路线等信息。同时，车载设备还需要支持拍摄照片和录制视频等功能，以便进行分心驾驶检测和路面目标检测。

在该系统中，车载设备的主要功能是收集和处理车辆的数据，并使用收集到的数据对联邦学习全局模型进行本地训练，然后将训练好后的模型参数加密后发送到中央服务器进行模型更新。联邦学习完成后，车载设备使用训练好的模型实时检测驾驶员的行为状态以及路面上的车辆和行人，能够快速对驾驶员发出提醒，并将车辆信息、驾驶员异

常行为等信息发送给服务器。

车载终端主要功能模块如图 2-2 所示：

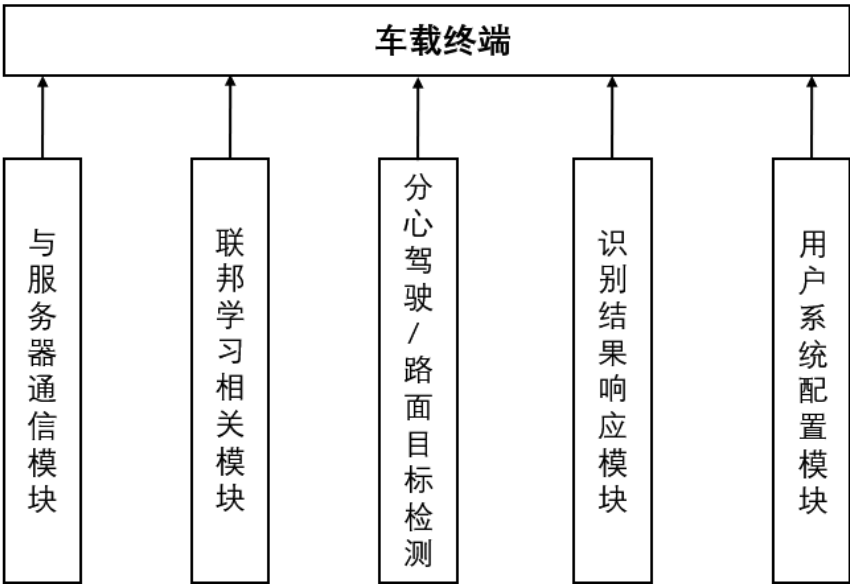


图 2-2 车载终端主要功能模块

2.2.2 车联网服务器端部分

服务器端系统运行在边缘服务器上，作为该车联网系统的后台管理平台，负责联邦学习任务管理、调度，接收和处理从各个车载设备上传的数据，提供数据存储、分析和  
管理功能，以及进行系统参数配置和更新等。

车联网服务器端的主要功能模块如图 2-3 所示：



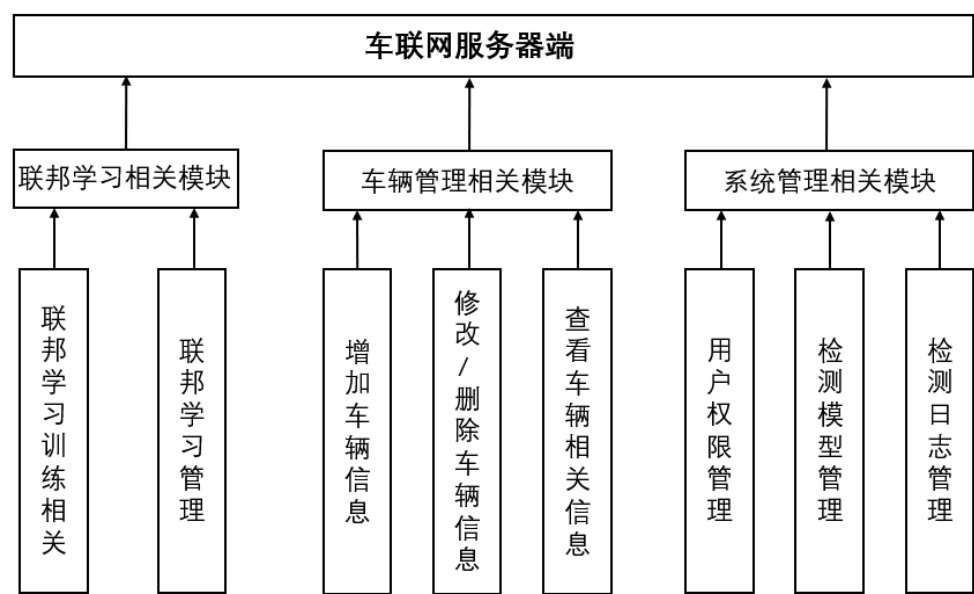


图 2-3 车联网服务器端主要功能模块

2.2.3 数据库部分

数据库主要用于存储各个车载设备上传的数据以及系统中的配置信息和参数等。

该车联网系统的数据库中设计了车辆信息、在线车辆库、行驶轨迹、识别模型、用户、角色、权限等 6 个实体，如图 2-4 数据库 E-R 图所示。图中明确了各实体之间的关系，在线车辆库与车辆信息存在一对一的关系，一个车辆在在线车辆库中对应一条车辆数据，若车辆在线则存在于在线车辆库中，若车辆不在线，则在线车辆库中不存在该车辆信息，识别模型与车辆存在二对一的关系，每一个车辆只允许拥有两个识别模型，而所有车辆的识别模型都是统一的，若对车辆进行模型升级，则需要将对所有车辆均进行模型升级。

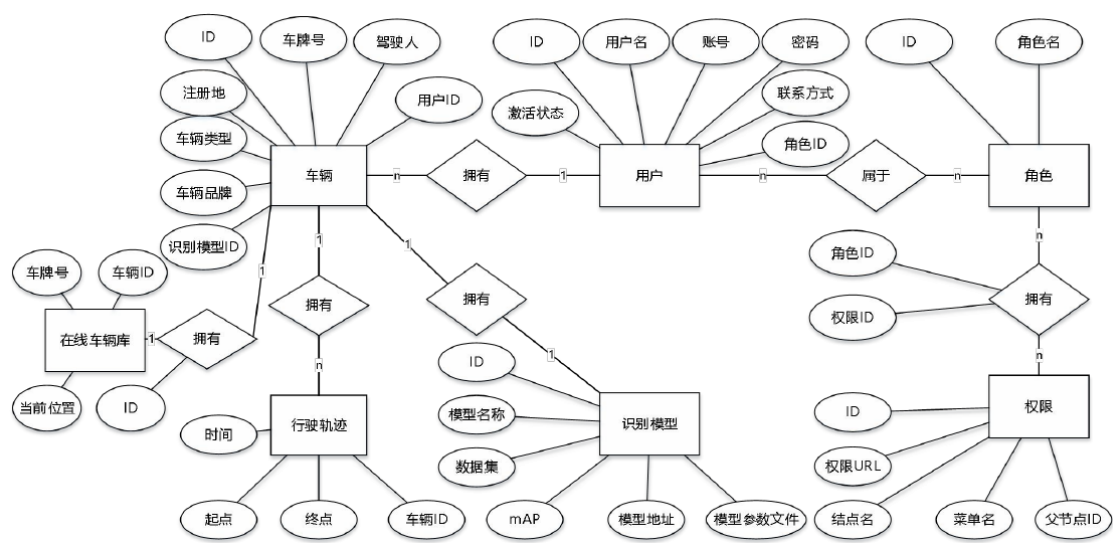


图 2-4 数据库 E-R 图

2.3 主要组件的功能和作用

该系统主要包含以下组件，各组件的主要功能和作用如下：

（1）**联邦学习模块：**该模块是整个系统的核心组件，负责对车辆进行联邦学习，包括分心驾驶检测和路面目标检测。该模块主要由以下几个组成部分构成：

模型训练组件：负责对本地数据进行模型训练，并将训练好的模型上传到中央服务器。

模型聚合组件：负责对上传的模型进行聚合，生成全局模型，并将其分发给各个车辆。

模型更新组件：负责周期性地更新全局模型，并将更新后的模型重新分发给各个车辆。

（2）**分心驾驶检测模块：**该模块主要负责对驾驶员的状态进行实时监测，以便及时发出警报提醒。该模块主要由以下几个组成部分构成：

驾驶员状态检测组件：负责对驾驶员的眼睛和面部表情进行检测，以便判断其是否处于分心驾驶状态。

警报组件：负责在检测到驾驶员处于分心驾驶状态时，发出警报提醒驾驶员。

（3）**路面目标检测模块：**该模块主要负责实时检测道路上的各种障碍物，以便驾驶员及时采取措施。该模块主要由以下几个组成部分构成：

目标检测组件：负责对道路上的车辆和行人进行检测和识别。

预警组件：负责发出警报提醒驾驶员注意安全。

**（4）隐私保护模块：**该模块主要负责对数据进行隐私保护，防止数据在共享过程中被泄露。该模块主要由以下几个组成部分构成：

加密组件：负责对数据进行加密，以防止数据在传输过程中被窃听。

解密组件：负责对接收到的数据进行解密，以还原原始数据。

数据清洗组件：负责对数据进行清洗，去除个人敏感信息等。

**（5）通信压缩算法模块：**该模块主要负责将加密后的数据进行压缩，减少数据传输的时间和带宽消耗。通信压缩算法通常采用数据压缩算法，如稀疏编解码、权重差编解码等。

**（6）数据管理模块：**该模块主要负责数据的存储、管理和维护。数据管理模块通常包括数据采集、数据存储、数据清洗、数据分析和数据可视化等功能。该模块可以使用传统的数据库管理系统或者分布式存储系统来实现。

### 3 该车联网系统中的联邦学习

该系统中联邦学习流程、应用在联邦学习中的隐私保护算法、联邦学习压缩算法将在本章进行详细说明。

#### 3.1 联邦学习具体流程

在该车联网系统中，联邦学习被用于训练分心驾驶检测和路面目标检测模型，其流程主要包括以下步骤：

**客户端选择并加载模型：**每个车载设备作为一个客户端，首先需要从车联网云服务器上下载需要训练的分心驾驶检测或路面目标检测模型，并加载到本地设备中。

**本地训练：**客户端使用本地的数据集对加载的模型进行训练，并在训练过程中使用隐私保护算法和通信压缩算法来保护数据隐私和减少通信开销。

**梯度聚合：**在本地训练完成后，客户端将训练得到的模型参数梯度上传到中央服务器上，由中央服务器对各个客户端上传的模型参数进行梯度聚合操作，以得到全局模型的更新参数。

**更新全局模型：**中央服务器将梯度聚合后的模型参数更新发送回各个客户端，用于更新本地模型参数。

**本地模型测试：**客户端使用更新后的模型进行本地模型测试，评估模型的性能指标并记录下来。

**返回性能数据：**客户端将本地模型测试的性能数据上传到中央服务器，以供系统管理员或其他相关人员进行统计和分析。

总体来说，该车联网系统中的联邦学习流程具有高效、隐私安全、通信开销小等特点，能够在不泄露数据隐私的前提下实现分布式模型训练，进一步提升了车联网系统的安全性和性能。

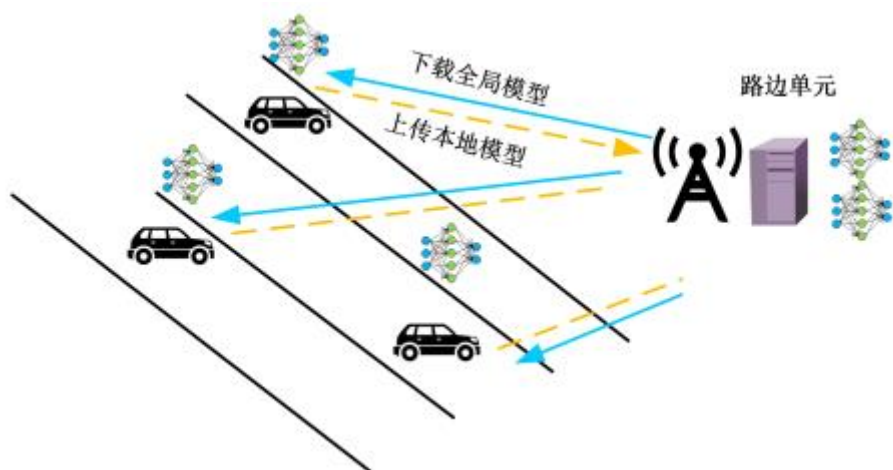


图 3-1 基于联邦学习的车联网场景

## 3.2 应用于该系统的联邦学习隐私保护算法

在该系统中，我们选择了多方安全计算（MPC）和本地差分隐私（LDP）两种隐私保护方案应用在联邦学习过程中，使用者可以根据需求灵活选择。

### 3.2.1 MPC 算法流程

联邦学习过程中，用户数据仅用于本地设备训练，不需要上传至中心服务器，可以避免用户个人数据的直接泄露。然而传统联邦学习框架中，模型以明文形式上云，仍然存在间接泄露用户隐私的风险。攻击者获取到用户上传的明文模型后，可以通过重构、模型逆向等攻击方式恢复用户的个人训练数据，导致用户隐私泄露。模型安全聚合是联邦学习最常见的隐私机制之一，通过汇总各方的模型参数来训练全局模型，避免在训练过程中传输原始数据。

安全聚合方法已成为对抗隐私威胁的一种对策，它使服务器能够聚合大量用户的本地模型参数，而无需判断本地模型的安全性。这是通过多方安全计算（MPC）方法来实现的。在这个过程中，两个参与客户端就一个成对的随机扰动达成一致，用户通过将他们本地训练的模型参数其与成对的随机扰动相结合来对模型参数进行加密。然后，用户只向服务器发送加密后的本地模型，攻击者无法从服务器中学习任何关于本地模型真实值的信息。另一方面，一旦加密后的模型在服务器上聚合，成对扰动就会被抵消，从而允许服务器聚合本地模型，但除了它们的总和之外，不会透露有关本地模型的更多信息。因此，安全聚合通过阻止服务器获取真实的本地模型来提供额外的隐私保护。此

外，此安全聚合方法与其他隐私保护方法（如差分隐私等）可以相互结合，共同促进提高系统的安全性能。

基于多方安全计算（MPC）的模型安全聚合算法的实现方法如下所示：

（1）假设所有参与联邦学习的客户端集合为  $U$ ，对于任意客户端 Client  $u$  和  $v$ ，每两个客户端会共同协商出一对随机扰动  $p_{uv}$  和  $p_{vu}$ ，并且满足：

$$p_{uv} = \begin{cases} -p_{vu}, & u \neq v \\ 0, & u = v \end{cases}$$

（2）每个客户端 Client  $u$  在上传模型至服务端 Server 前，会在原模型权重  $x_u$  加上它与其它用户协商的扰动：

$$x_{encrypt} = x_u + \sum_{v \in U} p_{uv}$$

（3）最后服务端 Server 进行模型聚合，并得到最终结果  $\bar{x}$ ：

$$\begin{aligned} \bar{x} &= \sum_{u \in U} \left( x_u + \sum_{v \in U} p_{uv} \right) \\ &= \sum_{u \in U} x_u + \sum_{u \in U} \sum_{v \in U} p_{uv} \\ &= \sum_{u \in U} x_u \end{aligned}$$

使用模型安全聚合方法聚合后的模型的精度是无损的。

### 3.2.2 LDP 算法流程

21 世纪初，“差分隐私”作为一种新提出的定义，对防止统计数据库中隐私信息泄露方面有重要意义。由于数据库的处理对具体或单条记录的变化捕捉能力较弱，因此，恶意攻击者无法在其中获得准确数据信息，隐私泄露风险会大大降低。在横向联邦学习中，假设客户端本地训练之后的模型权重矩阵是  $W$ ，由于模型在训练过程中会“记住”训练集的特征，所以攻击者可以借助  $W$  还原出用户的训练数据集。在传统机器学习和深度学习的训练过程中，通常在输出中加入噪声，以在梯度迭代过程中应用差分隐私，从而达到保护用户隐私的目的。数据实操者通常采用拉普拉斯机制和指数机制进行差分隐私保护算法。在联邦学习过程中最常用的是本地差分隐私（LDP）算法。

差分隐私算法用公式表示为：

$$\Pr[\text{Random}(D) \in S] \leq e^\epsilon \Pr[\text{Random}(D') \in S] + \delta$$

其中, 对于差别只有一条计算记录的两个数据集  $D$  和  $D'$ , 通过随机算法  $\text{Random}$ , 输出结果为集合  $S$  子集的概率满足上述公式。 $\epsilon$  表示差分隐私预算,  $\delta$  表示扰动,  $\epsilon$  和  $\delta$  越小, 则  $\text{Random}$  在  $D$  和  $D'$  上输出的数据分布越接近。

参与训练的客户端会生成一个与本地模型  $W$  相同维度的差分噪声矩阵  $G$ , 然后将二者相加, 得到一个满足差分隐私定义的权重  $W_p$ , 即:

$$W_p = W + G$$

参与训练的客户端将加噪后的模型  $W_p$  上传至云侧服务器进行联邦聚合。噪声矩阵  $G$  相当于给原模型加上了一层掩码, 能有效降低模型敏感数据泄露的风险。

### 3.2.3 隐私保护算法对联邦学习模型性能影响分析

隐私保护算法虽然可以保护隐私数据安全, 但是其往往以牺牲联邦学习模型性能为代价。隐私保护算法对联邦学习模型性能的影响主要表现在以下几个方面:

**训练效率:** 隐私保护算法往往需要增加计算量和通信量, 这会降低模型的训练效率。例如, 差分隐私算法需要对数据进行加噪处理, 这会增加训练时间和通信开销。

**模型准确率:** 隐私保护算法会对数据进行扰动, 从而影响模型的准确率。例如, 差分隐私算法对数据进行的加噪处理可能会降低模型的准确率。

因此, 在实际应用中, 需要综合考虑隐私保护算法对模型性能和隐私保护程度的影响, 选择合适的算法。

在该系统中, 我们需要高精度的识别模型来保障司机安全, 因此所使用的隐私保护算法对联邦学习模型精度的负面影响应当尽可能小, 因此我们设计了一部分实验来观察 MPC 和 LDP 对联邦学习模型精度的影响。在该实验中, 使用了 MPC 和 LDP 隐私保护算法的联邦学习模型性能与未使用隐私保护算法以及使用 SignDS 算法的联邦学习模型的准确率和训练过程中的 Loss 值变化进行比较, 实验结果如图 3-2 所示。

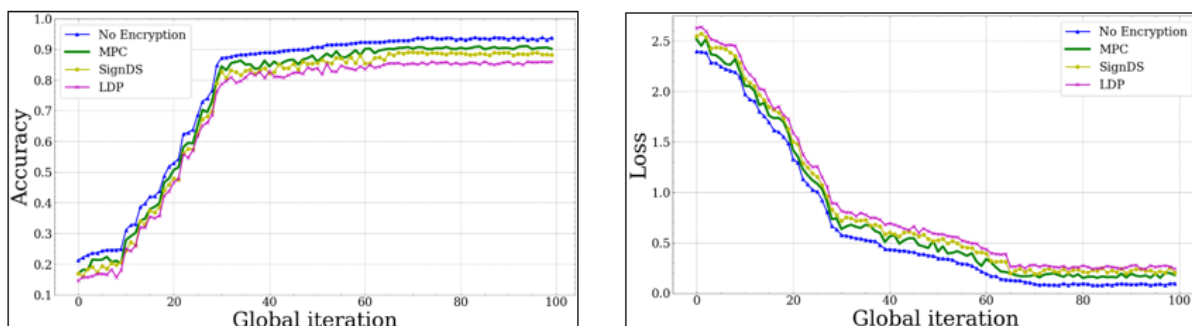


图 3-2 实验过程中模型准确率和 Loss 变化

从图 3-2 中我们可以看出，将未使用隐私保护算法的联邦学习模型精度作为基准，MPC 和 LDP 隐私保护算法对联邦学习模型精度的负面影响很小，几乎接近于无损，符合该系统的需求，既能保护联邦学习过程中的数据安全，又能保证模型的精度几乎不受影响。

3.3 应用于该系统的联邦学习模型压缩算法

联邦学习训练过程中，通信量会影响端侧用户体验（用户流量、通信时延、客户端参与数量），并受云侧性能约束（内存、带宽、CPU 占用率）限制。在该系统的联邦学习中使用了上传和下载的模型压缩算法，旨在通过减少模型的参数数量和通信成本来提高联邦学习的效率和可扩展性。

3.3.1 上传模型压缩

上传即参与联邦学习的客户端将本地训练完成后的模型参数发送给服务器端的过程。

上传压缩方法可以分为三个主要部分：权重差编解码、稀疏编解码和量化编解码，如图 3-3 所示给出了客户端和服务器的流程图。

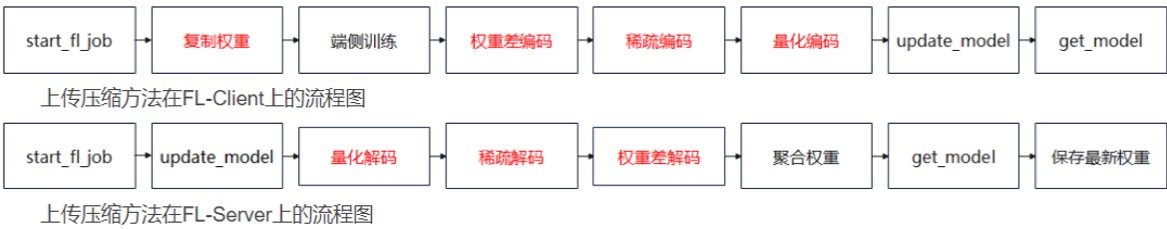


图 3-3 上传压缩方法在客户端和服务器的流程图

下面将详细介绍它们的实现方法。

**(1) 权重差编解码**

权重差编解码（Weight Difference Encoding and Decoding）是一种将模型权重的差值编码并传输到服务器上进行聚合的算法。它的实现方法如下：

编码：在联邦学习的第一轮中，服务器将全局模型的权重发送到每个客户端。在之后的每轮中，客户端将本地模型与全局模型的权重进行比较，并计算它们之间的差异。然后，客户端只传输本地模型与全局模型之间的权重差异给服务器进行聚合。



解码：服务器接收到客户端传输的权重差异后，将它们相加，得到新的全局模型的权重。然后，服务器将新的全局模型的权重发送回客户端，以便它们在下一轮训练中使用。

(2) 稀疏编解码

稀疏编解码（Sparse Encoding and Decoding）是一种利用稀疏矩阵的特性来减少传输数据量的算法。它的实现方法如下：

编码：客户端将本地模型中权重小于某个阈值的参数删除，并将其余参数的权重和位置发送给服务器。

解码：服务器接收到客户端传输的权重和位置信息后，将其恢复为稀疏矩阵。然后，服务器使用聚合算法将这些稀疏矩阵相加，得到新的全局模型的稀疏矩阵。最后，服务器将新的全局模型的稀疏矩阵发送回客户端，以便它们在下一轮训练中使用。

(3) 量化编解码

量化编解码（Quantization Encoding and Decoding）是一种将模型参数压缩为低精度数据类型来减少传输数据量的算法。它的实现方法如下：

编码：客户端将本地模型中的浮点数权重量化为低精度整数或浮点数，并将量化后的权重发送给服务器。

解码：服务器接收到客户端传输的量化后的权重后，将其反量化为浮点数，并使用聚合算法将它们相加，得到新的全局模型的权重。最后，服务器将新的全局模型的权重发送回客户端，以便它们在下一轮训练中使用。

权重差编解码、稀疏编解码和量化编解码都是实现联邦学习模型压缩的有效算法，它们可以在减少传输数据量的同时，保持较高的模型准确率。

3.3.2 下载模型压缩

下载即将服务器端将聚合后的联邦学习模型参数分发给各参与联邦学习的客户端过程。

下载压缩方法主要为量化编解码操作，与上传压缩中的量化编解码相同。如图 3-4 所示给出了客户端和服务器的流程图。

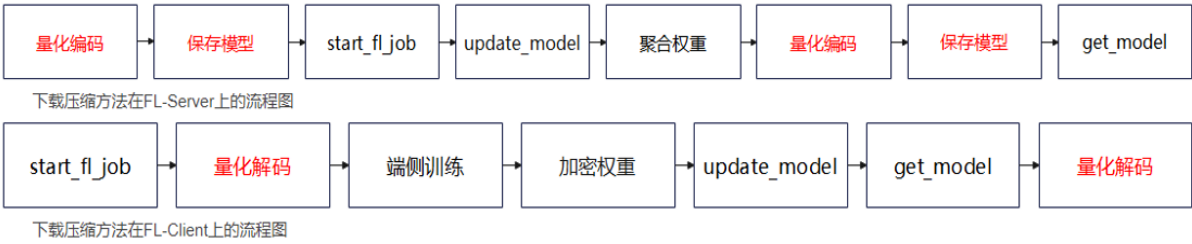


图 3-4 下载压缩方法在客户端和服务端端的流程图

## 4 分心驾驶检测

### 4.1 分心驾驶检测的原理和方法

在该系统中我们采用了基于单帧图像的分心驾驶行为识别方法。将分心驾驶行为识别任务转化为驾驶图像分类任务，通过采集单张图像判别驾驶员的动作，从而根据其动作做出相应的提示，达到分心检测与纠正的目的。

### 4.2 分心驾驶检测的具体流程和算法

#### 4.2.1 数据集

系统采用两个公开的分心驾驶行为图像数据集 State Farm 数据集和 AUC 数据集进行模型训练。

##### a. State Farm 数据集

来源于 kaggle 平台上组织的一场比赛，其内容是验证基于计算机视觉的方法是否可以识别分心驾驶行为。该数据集由固定在副驾头顶扶手上的摄像头采集，清楚地拍摄了驾驶员的上半身图像。该数据集包含训练集 22424 张（已分类），测试集 7 万多张（未分类），含 10 类分心驾驶行为。数据集示例如图 4-1 所示。

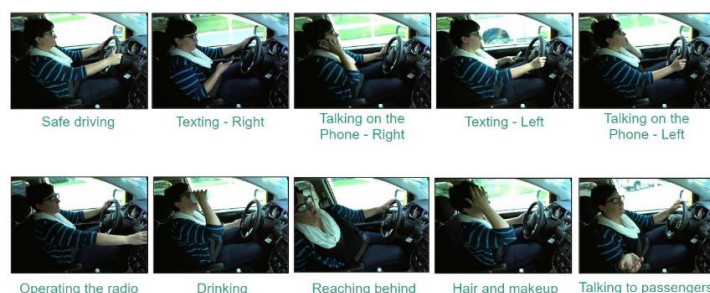


图 4-1 State Farm 数据集示例

##### b. AUC 数据集

由美国开罗大学的机器智能小组（MI- AUC）仿照 State Farm 的数据集制作的。该数据集是由手机摄像头拍摄制作的，图像分辨率为 1080P。数据集的参与者共有 31 名，其中男性 22 名，女性 9 名，并且来自 7 个不同的国家。该数据集使用了 4 种不同型号的车辆来拍摄。整个数据集一共有 17308 张已分类带标签的图片。该数据集的示例如图

4-2 所示。



图 4-2 AUC 数据集示例

我们将上述两个数据集打乱顺序后随机分为  $n$  份 ( $n$  为模拟车载终端的数量), 供参与联邦学习的客户端使用。

### 4.2.2 数据预处理

考虑到拍摄到图片受光照等影响, 对于识别产生一定的影响, 故需进行图像的预处理, 提高后续的识别准确度。针对数据集图片和自行拍摄的图片受到的影响主要来自于夜间光照不足、车外光线照射过亮等, 因此, 需要对图片进行预处理。该系统使用了基于曝光融合框架的对比度增强算法。

基于曝光融合框架的对比度增强算法是一种精确的对比度增强算法, 相比传统的直方图均衡化 (HE) 等算法可以减少颜色失真的问题。其基本思想是将同一张图片的不同曝光设置的图像进行融合。

$$R_c = \sum_{i=1}^N W_i \times P_i^c$$

在上式中,  $N$  是图像数量,  $P$  集合中的第  $i$  个图像,  $W$  是第  $i$  个图像的权重图,  $c$  是三个颜色通道的索引,  $R$  是增强后的结果。三个颜色分量是相等的, 所有像素是不均匀的。曝光良好的像素具有较大的权重, 曝光不良的像素权重较小。

其具体处理步骤如下:

a. 对曝光良好的像素分配较大的权重值, 对曝光不足的像素分配较小的权重值。直观地来说, 权重矩阵与场景光照正相关。由于高度光照区域有更大的可能性获得更好的曝光, 应分配给大的权重值以保持它们的对比度。

b. 最优的曝光率提供最多的信息。为了衡量信息的数量, 使用图像熵来定义曝光率, 通过一维最小化求解最优曝光率。

4.2.3 系统识别模型

综合考虑推理时延与性能，选择 MobileNetV3 作为分心驾驶行为识别模型。

MobileNet 模型是专注于嵌入式或者移动设备中的轻量级卷积网络。相比传统卷积神经网络，在准确率小幅降低的前提下大大减少模型参数与运算量。MobileNetV1 的优点是使用深度可分离卷积（如图 4-3）来构建轻量级深度神经网络，它能大大减少运算量和参数数量。MobileNetV3 使用线性瓶颈结构减少参数数量和计算量，它的亮点是倒残差结构，它解决了加深网络层数带来的梯度消失问题，这样做还可以使高维信息通过 ReLU6 激活函数后丢失的信息更少。

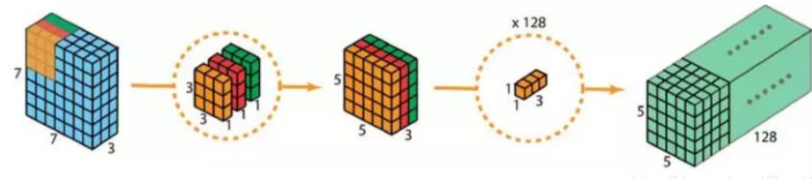


图 4-3 深度可分离卷积过程

上图中，输入特征图大小为 7x7x3，第一步进行 depthwise convolution 操作：使用 3 个 3x3x1 大小的卷积核分别对每一个通道进行卷积，得到 5x5x3 大小的特征图；第二步进行 pointwise convolution 操作：使用 128 个 1x1x3 大小的卷积核对整个特征图进行普通卷积，最终得到 5x5x128 大小的特征图。

其网络结构如表 4-1 所示。

表 4-1 MobileNetV3 的网络结构

Input	Operator	exp size	#out	SE	NL	s
$224^2 \times 3$	conv2d, 3x3	-	16	-	HS	2
$112^2 \times 16$	bneck, 3x3	16	16	✓	RE	2
$56^2 \times 16$	bneck, 3x3	72	24	-	RE	2
$28^2 \times 24$	bneck, 3x3	88	24	-	RE	1
$28^2 \times 24$	bneck, 5x5	96	40	✓	HS	2
$14^2 \times 40$	bneck, 5x5	240	40	✓	HS	1
$14^2 \times 40$	bneck, 5x5	240	40	✓	HS	1
$14^2 \times 40$	bneck, 5x5	120	48	✓	HS	1
$14^2 \times 48$	bneck, 5x5	144	48	✓	HS	1
$14^2 \times 48$	bneck, 5x5	288	96	✓	HS	2
$7^2 \times 96$	bneck, 5x5	576	96	✓	HS	1
$7^2 \times 96$	bneck, 5x5	576	96	✓	HS	1
$7^2 \times 96$	conv2d, 1x1	-	576	✓	HS	1
$7^2 \times 576$	pool, 7x7	-	-	-	-	1
$1^2 \times 576$	conv2d 1x1, NBN	-	1280	-	HS	1
$1^2 \times 1280$	conv2d 1x1, NBN	-	k	-	-	1

其中：t 是扩展因子，第一层 1x1 卷积层中卷积核的扩展倍率；c 是输出特征矩阵深度 channel；n 是 bottleneck 的重复次数 s 是步距。

4.2.4 识别模型性能分析

我们对 MobileNetV3 的性能进行了统计分析以验证其适合应用在车载端分心驾驶检测中：

a. Classification 分类任务

Network	Top-1	MAdds	Params	P-1	P-2	P-3
V3-Large 1.0	<b>75.2</b>	<b>219</b>	5.4M	<b>51</b>	<b>61</b>	<b>44</b>
V3-Large 0.75	73.3	155	4.0M	39	46	40
MnasNet-A1	75.2	315	3.9M	71	86	61
Proxyless[5]	74.6	320	4.0M	72	84	60
V2 1.0	72.0	300	3.4M	64	76	56
V3-Small 1.0	67.4	66	2.9M	15.8	19.4	14.4
V3-Small 0.75	65.4	44	2.4M	12.8	15.6	11.7
Mnas-small [43]	64.9	65.1	1.9M	20.3	24.2	17.2
V2 0.35	60.8	59.2	1.6M	16.6	19.6	13.9

图 4-4 MobileNetV3 在分类任务上的实验结果

根据图 4-4 实验结果，MobileNetV3 模型在 CPU 上分类一张图片时间在 20ms 以内，达到了实时检测的要求。

b. Object Detection 目标检测任务

Backbone	mAP	Latency (ms)	Params (M)	MAdds (B)
V1	22.2	228	5.1	1.3
V2	22.1	162	4.3	0.80
MnasNet	23.0	174	4.88	0.84
V3	22.0	137	4.97	0.62
V3 <sup>†</sup>	22.0	119	3.22	0.51
V2 0.35	13.7	66	0.93	0.16
V2 0.5	16.6	79	1.54	0.27
MnasNet 0.35	15.6	68	1.02	0.18
MnasNet 0.5	18.5	85	1.68	0.29
V3-Small	16.0	52	2.49	0.21
V3-Small <sup>†</sup>	16.1	43	1.77	0.16

图 4-5 MobileNetV3 在目标检测任务上的实验结果

根据图 4-5 实验结果，MobileNetV3 模型可以实现在移动设备或者是嵌入式设备来完成目标检测任务。



4.3 分心驾驶检测结果分析

4.3.1 评价指标

（1）准确率

在单标签的分类任务中，最常用的评价指标是准确率(Accuracy)。由于该任务中，每一个样本都有一个确定的所属类别，因此可以直接将模型的预测值与该样本的真实标签进行比较，当两者相等时则预测正确，当两者不相等时则预测错误。

（2）混淆矩阵

在多分类任务中，为了更加直观的看出算法模型在每一类别上的分类表现，可以使用混淆矩阵来表示。在混淆矩阵中，行表示真实类别，列表示预测类别。假设分类任务一共有 N 种类别，那么其混淆矩阵的维度是 N×N，在该矩阵中，元素 Acr 表示类别 c 所有样本中被预测为类别 r 的数量（或者是比例）。如果某元素位于该矩阵的主对角线上，其行号与列号均为 i，其值为类别 i 所有样本中成功检测的数目（或者是比例）。

4.3.2 结果与分析

模型训练完成后，使用测试集进行测试。该测试集中，一共有 3066 张图片。最终得到的混淆矩阵如表 4-2 所示。

表 4-2 测试结果混淆矩阵

		预测类别						
		正常驾驶	喝水	抽烟	挠头	使用手机	分心	拿东西
真实类别	正常驾驶	490	0	5	0	0	26	5
	喝水	8	402	4	3	0	0	4
	抽烟	13	8	368	5	8	11	4
	挠头	4	0	3	355	0	8	11
	使用手机	9	5	1	9	406	1	9
	分心	28	0	5	0	9	420	5
	拿东西	13	13	4	0	9	13	385

经过计算，使用该测试集对模型进行测试，其整体准确率为 92.17%。对于每一个类别，单独计算其精度、召回率这两个指标，如表 4-3 所示。

表 4-3 分类统计结果表

类别	精度	召回率
正常驾驶	0.932	0.867
喝水	0.955	0.939
抽烟	0.882	0.944
挠头	0.932	0.954
使用手机	0.923	0.940
分心	0.899	0.877
拿东西	0.881	0.910

从测试结果来看，模型对于喝水动作的识别准确率最高；对于挠头、使用手机动作的识别准确率其次；对于抽烟、分心、拿东西的动作识别准确度较低。分析其原因，对于抽烟动作，可能是因为香烟相对较小，当驾驶员叼着香烟时可能模型难以识别；对于分心动作，因为其动作幅度较小，可能模型不容易与正常行为做区分；对于拿东西动作，可能有些动作幅度较大，人体关键点被遮挡，导致模型识别不够准确。



## 5 路面目标检测

### 5.1 路面目标检测的原理和方法

在车联网研究内容中，车辆行驶过程车辆前物体的准确检测是最为关键的问题之一。对于物体的准确度检测包含两个方面：一是在复杂环境下识别检测出目标的位置信息，并利用边界框在影像中进行定位；二是对边界框内的目标进行识别并检测出分类名称。

目标检测一般可以分为传统目标检测方法和基于深度学习的目标检测方法，而基于深度学习的目标检测方法一般又被分为两大类：一阶段和二阶段的目标检测方法。

单阶段网络和双阶段网络是目前深度学习目标检测方法中较为主流的两种目标检测网络模型。双阶段网络将目标定位、识别分开处理，因此其检测精度较为准确，但检测速度较为缓慢，该网络通常用于不追求检测速度但要求检测精度高的应用领域，具有代表性的算法有 RCNN、Fast-RCNN、Faster-RCNN 等。单阶段网络是将目标定位、识别处理过程统一起来，检测精度与检测速度较为均衡，适用于对检测精度、速度均有要求的应用领域，具有代表性的算法如 SSD、YOLO 等。车辆行驶中目标检测技术主要面临以下几个问题：(1)车辆对物体检测速度不足使得车辆没有足够时间做出反应；(2)车辆对于物体检测精度不足导致驾驶员行为决策判断错误。目前常用的两种物体检测技术为：基于梯度直方图的算法+支持向量机和深度学习技术。近年来，由于 YOLO 算法的诸多优异性能，被广泛用于目标检测领域，该算法是迄今为止目标检测最快的检测算法之一。故本项目使用改进的 YOLOv5s 模型来实现目标检测。

### 5.2 YOLOv5s 网络结构

YOLOv5s 主要分为输入、主干网络、特征融合网络与预测输出四个部分。输入端采用 Mosaic 数据增强、图像自适应填充的方法对图像进行预处理。主干特征提取网络采用卷积下采样的操作提取图像不同层次的特征，结合空间金字塔池化模块，以减少计算量、提高推理速度与精度。特征融合部分采用特征金字塔 FPN 与路径聚合模型 PAN 结合的方式组成，实现对来自主干网络的三种尺度大小的特征层进行信息融合，进一步提升检测能力。输出端是模型最后的部分，用来预测不同尺寸的目标，YOLOv5s 的结构如图 5-1 所示，模型结构具体内容于下文进行论述。

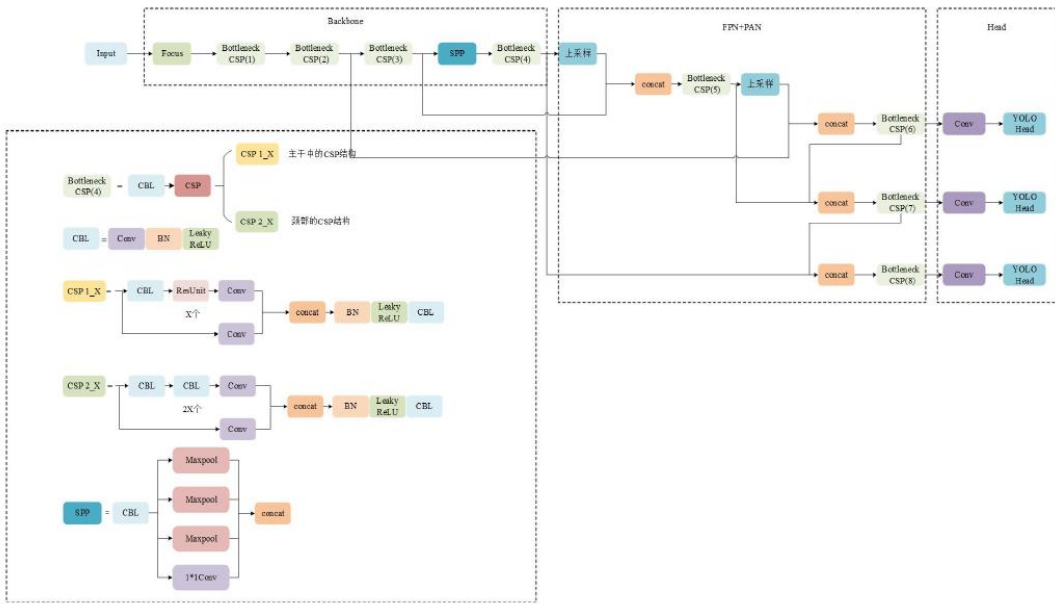


图 5-1 yolo v5s 网络结构

5.2.1 输入端

YOLOv5s 继续沿用了 YOLOv4 算法中的数据增强的方式。Mosaic 数据增强使用随机裁剪与缩放对 4 张图像进行操作，目的是增强图像的背景信息，有利于提高行人检测算法的鲁棒性。此外，Mosaic 数据增强一次训练 4 张图片，在占用少量的 GPU 资源的同时达到优秀的训练效果。考虑到不同数据集之间图像的宽高比及尺寸存在差异性，YOLOv5s 引入自适应图片放缩技术，将放缩后的图像送入模型进行训练。通过图像放缩比例的计算，减少了图像两侧出现黑边的可能，从一定程度上减少了模型所需的计算量，提升了目标检测速度。

5.2.2 主干网络

当图像输入主干网络后，YOLOv5s 使用 Focus 模块对其进行切片，切片采用隔像素取值的方法，过程如图 5-2 所示，即将图中所示左边  $4 \times 4 \times 3$  的图像按颜色切分成 4 份，在同一个通道上将相同颜色的部分进行整合，图像经过 Focus 模块后变为  $2 \times 2 \times 12$  的特征图，等价于在两倍下采样后，将切分后的特征图在通道层面上进行整合，将原来 3 通道图像整合成为了 12 个通道的特征图。相比传统的卷积池化下采样过程，Focus 模块可以有效提升感受野，减少特征图细节信息的丢失，进而提升整体模型的鲁棒性。

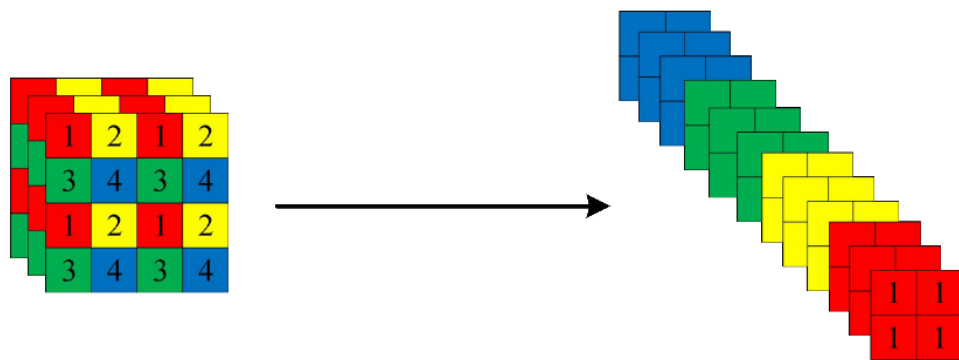


图 5-2 Focus 模块

YOLOv5s 在主干网络中沿用了 YOLOv4 中的 CSP 结构。该结构有效地将浅层的特征信息与深层的特征信息进行结合，有效避免了传统卷积池化在下采样时梯度消失的问题,同时减小了计算开销,提高了网络对特征的学习与提取能力。本文使用 BottleneckCSP 表示应用于 YOLOv5s 模型中的各个特征层,其中每个 BottleneckCSP 模块均由一个 CBL 模块与 CSP 模块组成，结构如图 5-3 所示：



图 5-3 BottleneckCSP 模块

其中普通卷积块（CBL）是由基础卷积、批标准化及 LeakyReLU 三者组合而成，其结构如图 5-4 所示：

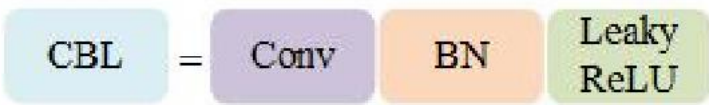


图 5-4 CBL 模块

考虑到模型主干网络与颈部网络使用的 CSP 结构有所差异，本文以 CSP1\_X 模块特别表示应用于主干网络中的 CSP 结构，其中 X 表示模块中的残差模块的堆叠数量，CSP1\_X 结构如图 5-5 所示：

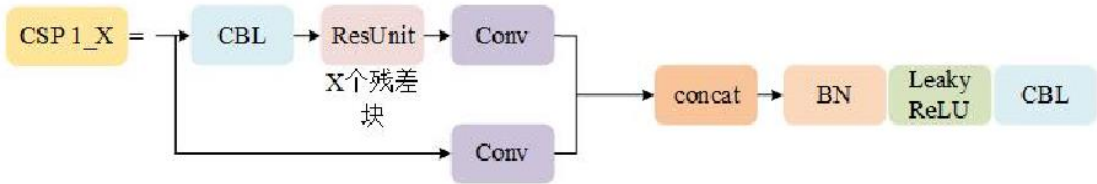


图 5-5 CSP1\_X 结构

5.2.3 颈部网络

YOLOv5s 的颈部网络继续沿用了 YOLOv4 中 FPN+PAN 的结构，如图 5-6 所示，模型首先采用了自上而下的方法构建特征金字塔结构，结构采用上采样的方法对来自主干网络尺度不同的特征层进行拼接融合，以获取包含多尺度语义信息的特征层。PAN 路径聚合模块则是构建自下而上的结构将所得特征再次进行融合，极大地加强了不同特征之间的信息保留，提升了模型对目标的定位能力。两者结合的方式有效提升了模型对目标的定位、识别能力，进而提升了模型整体的鲁棒性。

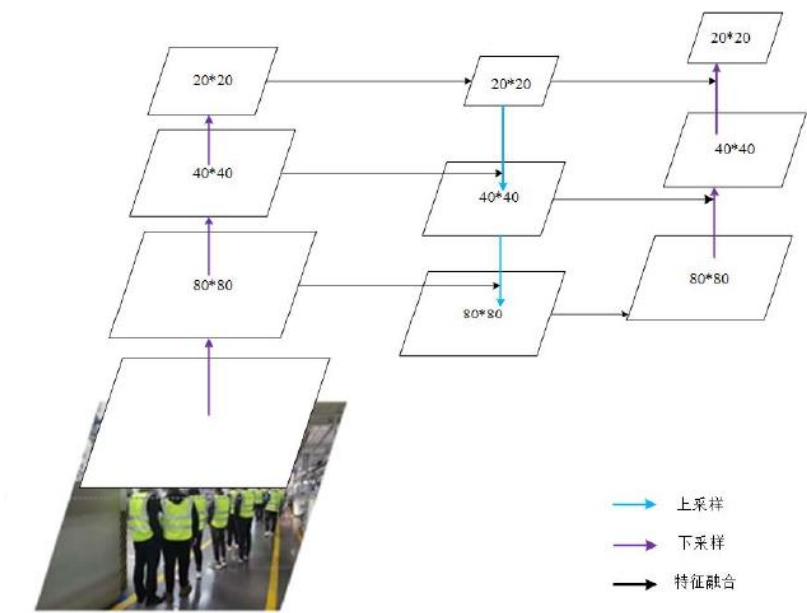


图 5-6 FPN+PAN 结构

此外，YOLOv5s 还将 CSP 的思想应用于颈部特征层，提高了模型特征融合的能力，颈部特征层中的 CSP 结构如图 5-7 所示，该结构在原本残差模块的位置使用 2\*X 个 CBL 模块进行代替，在不影响特征融合的前提下减少了模型的参数量。

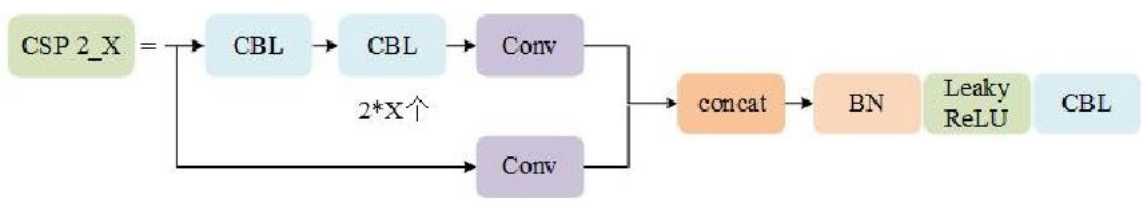


图 5-7 颈部网络的 CSP 结构

5.2.4 预测网络

YOLOv5s 预测头部用于输出三种不同大小的特征图进行对目标的预测，当输入图像为  $640\times640\times3$  时，预测层输出  $20\times20$ 、 $40\times40$  与  $80\times80$  三种尺度的特征图。其中  $20\times20$  的输出特征主要用于预测大尺度目标， $80\times80$  尺寸的输出特征则可以体现更为细致的细节信息，用于预测尺度较小的目标。

5.3 路面目标检测的具体流程

5.3.1 数据集

在进行数据处理之前，需要介绍本实验过程中用到的数据集及来源，数据集采用的是合肥公路监控视频集中的一部分，如下图 5-8 所示，该数据集显示路段基础的路况，包括交通、行人、地物、道路、地面构造物及沿线的物体，监控摄像机全部采用 200 万的网络高清摄像机。采用组播技术、双码流技术和流媒体技术等实现高清视频的采集、传输和显示。每路视频双流压缩，高码流 1080P( $1920\times1080$ )，低码流 720P( $1280\times720$ )，论文使用的是易于存储的低码流视频，采用标准 h.264 算法，录像文件可使用标准解码器解码，支持常用播放软件直接播放。



图 5-8 合肥公路监控视频

5.3.2 模型参数设置

模型训练过程中的主要参数设置如表 5-1 所示。

表 5-1 主要参数设置

参数	取值
batch_size	32
global_epoch	100

参数	取值
local_epoch	10
learning_rate	0.001
weight_decay	0.0005
momentum	0.937
box_loss	0.05
class_loss	0.5
object_loss	1.0

5.4 路面目标检测结果分析

5.4.1 评价指标

在联邦迭代最后的步骤中，客户端有一个模型验证实验，即在指定的客户端验证最新的全局模型是否收敛，以及最终实验检测结果是否准确。由于客户端验证时不需要大量数据与内存消耗，所以为了保证验证的权威性，在客户端增加了道路环境的多目标检测，首先可以根据检测结果定性分析系统的准确性，其次根据各项评估指标定量地分析模型收敛情况。下面，对各项评价指标做一个详细的解释。

混淆矩阵：如果对于每一类目标，若想知道类别之间相互误分的情况，查看是否有特定的类别之间相互混淆，就可以用混淆矩阵画出分类的详细预测结果。对于包含多个类别的任务，混淆矩阵很清晰的反映出各类别之间的错分概率。

AveragePrecision：简称 AP，即平均精确度。

IOU/GIOU：在目标检测领域中，定义为两个矩形框面积的交集和并集的比值为 IOU，如下表 4-6 所示为具体的 IOU 和 GIOU 公式。最理想的情况是完全重叠，则 IoU 等于 1。一般在检测任务中，IoU≥0.5 就认为召回，如果设置更高的 IoU 阈值，则召回率下降，同时定位框也越更加精确。

5.4.2 该系统路面目标识别结果

在本系统中设置的是关于所有交通环境对象（除了类别 car、van、trunk、bus 等机动车外，还包括驾驶员、道路中出现的人、非机动车）的识别检测。由于是多目标识别检测，所以每个类别标签得准确区分，实验过程中的数据集类别标签如图 5-9 所示，第

一个图为七个目标类别（car、van、trunk、bus、people、bicycle、other）的数据量，第二个图为数据集的 labels 标签分布，第三个图为中心 xy 分布情况，第四个图为各个数据 labels 标签的长和宽的分布情况。

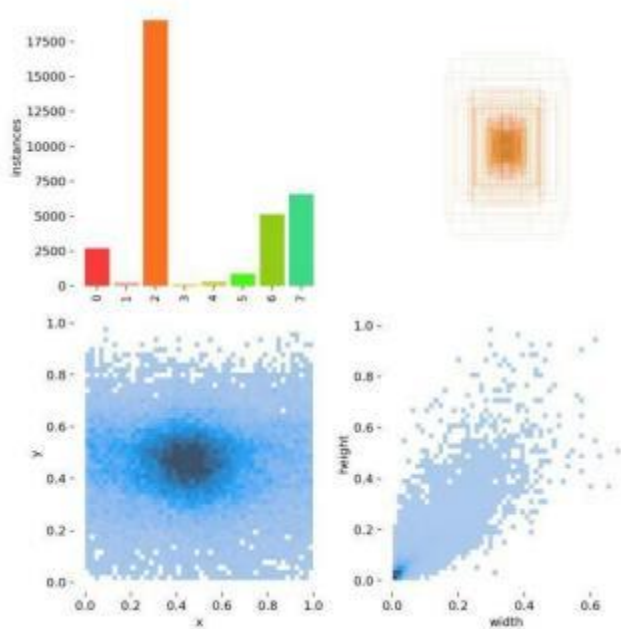


图 5-9 数据集的类别标签

根据图 5-9 得出数据类别标签集中，中心点明确，长宽分布呈线性态势，说明多目标识别准确率高，而且据图 5-10 可以看到，经过参数优化、泛化误差的全局模型，在本系统中多目标检测效果很好，交通道路环境中设置的对象几乎都能识别，进而推断全局模型收敛效果较好，以上为初步定性分析模型，接下来进一步借助测试集与验证集定量评估。



图 5-10 路面目标检测结果



5.4.3 结果分析

下图 5-11 为结果的混淆矩阵图，可以综合计算得出，每一类实际被检测的类别与被预测的该类别比例都高于 0.5，有的甚至趋近于 1，说明相互误分的情况很少。



图 5-11 混淆矩阵图

图 5-12 为汇总的 results 图，数据结果分析可知，验证集和测试集的 box\_loss 中的 GIoU 损失函数均值、目标检测 loss 均值、分类 loss 均值（左边六个图）最终都趋近于 0，说明识别准确、目标检测准确、分类准确；在置信度不变的条件下，精确率与召回率均在 0.5 值之间波动，平衡值接近于 1；接着综合判断两类 mAP，即 mAP\_0.5:0.95 和 mAP\_0.5，均最终趋于稳定，说明最终模型准确率较高，模型收敛效果好。

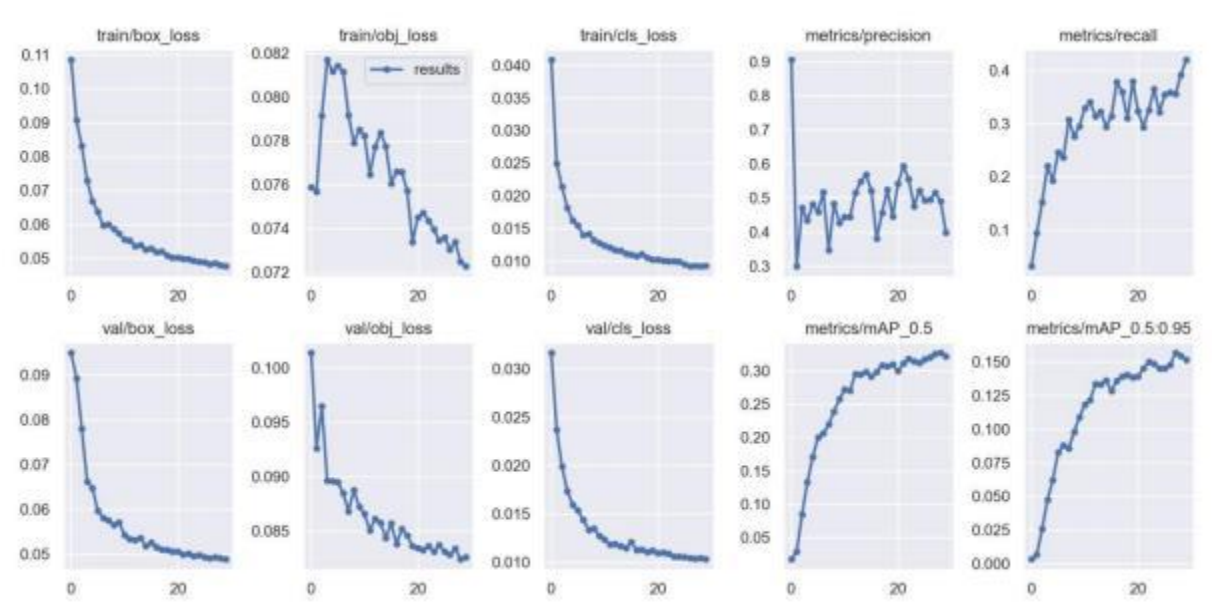


图 5-12 results 图



## 6 系统界面展示

在本章我们将会展示该系统的主要功能界面。

### 6.1 服务器端主要功能界面

服务器端使用 Flask 作为 Web 开发框架，由于还需要提供后台管理界面，因此服务端项目决定使用前后端分离的方式进行开发。前后端接口遵循 Restful API 标准，使用 Json 作为前后端的数据交互格式。对于前端页面，使用 Vue 框架开发，使用 Axios 向后端的 API 接口请求或发送数据。

前端登陆界面如图 6-1 所示：

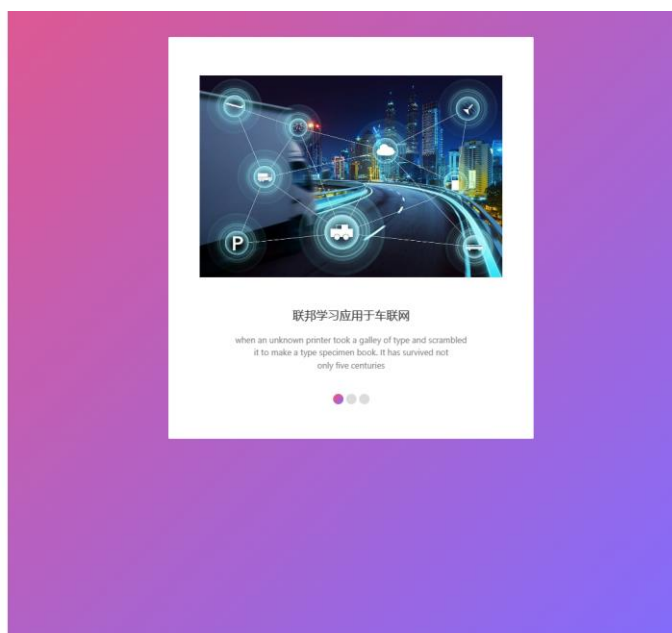
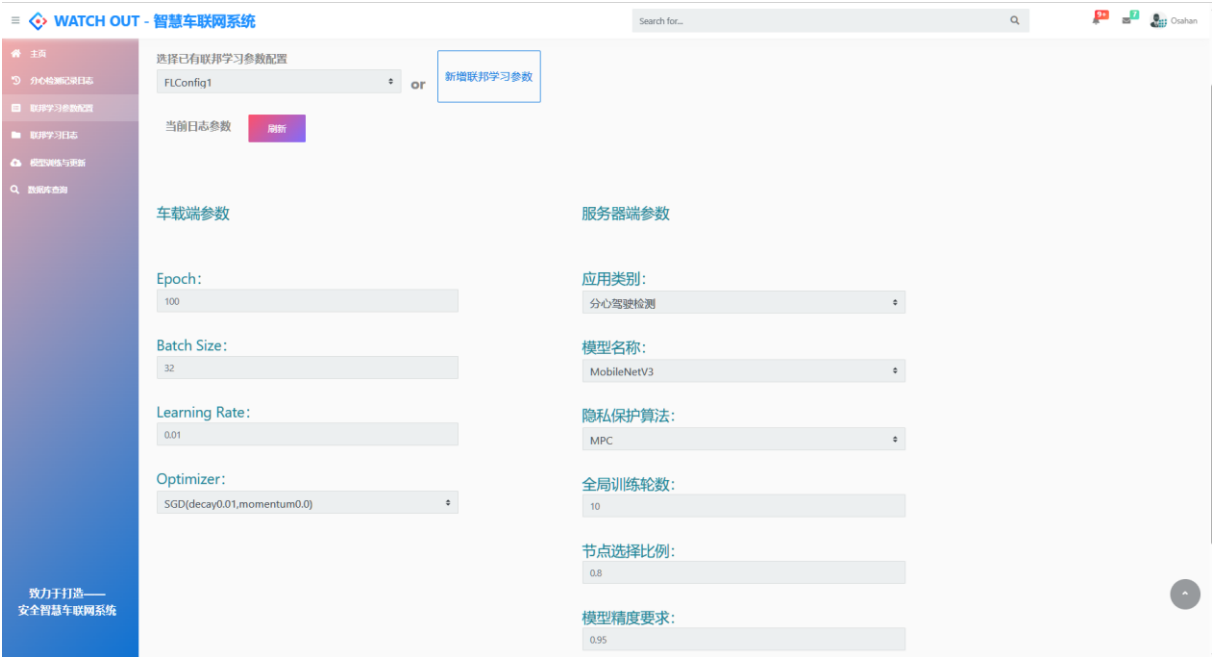


图 6-1 登陆界面

如图 6-2 所示为日志分析模块界面，用户登录服务器端系统后，点击分心检测记录日志功能，选择近 7 天分心驾驶日志，查看可视化页面的输出。



图 6-3 为联邦学习参数调控模块界面，管理员登录服务器，点击联邦学习参数配置功能，选择对已有的联邦学习参数 FLConfig1 进行修改，查看可视化页面的输出。



从图 6-4 可见，页面以表格输出最近 30 天的联邦学习日志，进一步点击日志 55 查看详情，页面右半部分显示该联邦学习的指标变化详情。

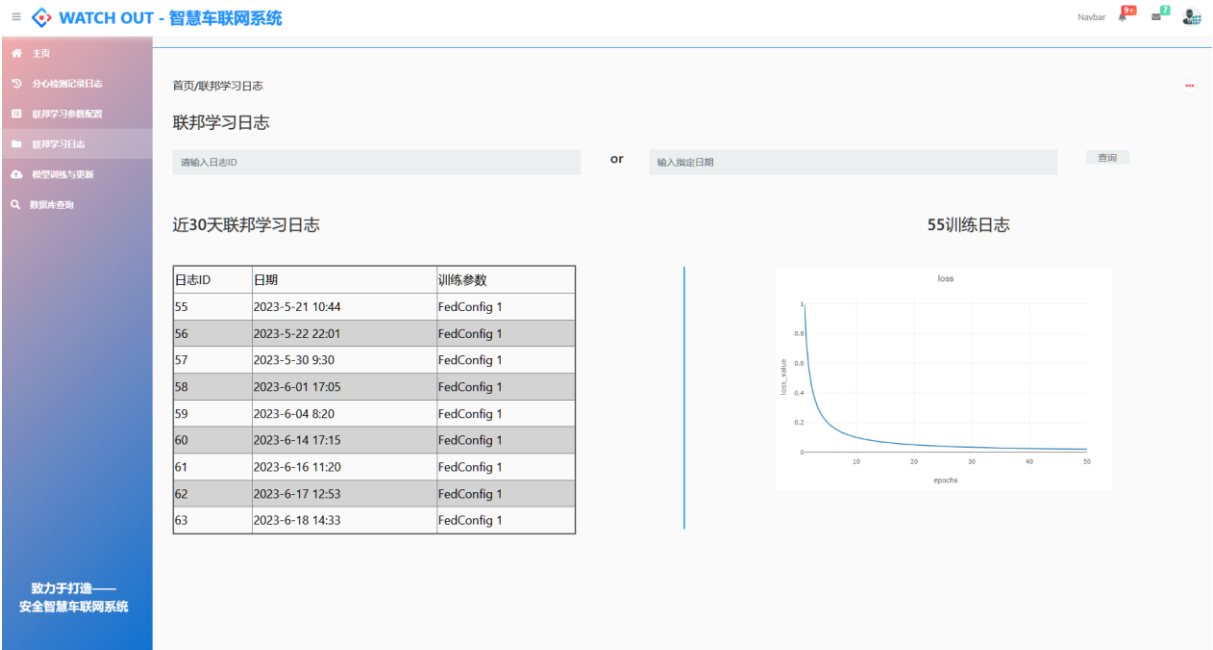


图 6-4 联邦学习日志

6.2 客户端主要功能界面

分心驾驶检测和路面目标检测的客户端界面相似，为避免内容冗余，因此该部分只展示分心驾驶检测的客户端界面。

系统客户端部分使用 PyQt 图形界面库绘制客户端界面，使用 OpenCV 库获取摄像头画面以及完成对图像的预处理。当客户端启动时，会进入到登陆界面，此时可以选择驾驶员行为检测模式是在线检测还是离线检测模式(默认使用离线检测模式)。如图 6-5 所示。



图 6-5 客户端登录界面

当用户完成登陆，便进入驾驶行为检测界面，此时系统会完成算法模块的初始化工作，主要完成算法模型的加载，该过程大约耗时 5 秒左右。当完成算法模块的初始化工作后，便进入驾驶行为检测界面，当驾驶员在正常驾驶时，界面中显示的检测结果为“正常”，且为绿色标注。当驾驶员在进行不安全的驾驶行为时，例如驾驶员在开车过程中与他人交谈，此时界面如图 6-6 所示，可以看到界面中显示的检测结果为“分心”，且为红色标注，车辆警报器会发出声音，并出现提示提醒驾驶员集中注意力。



图 6-6 客户端检测界面(正常驾驶)



图 6-7 客户端检测界面(分心驾驶)

### 6.3 联邦学习日志

该系统在联邦学习时会在参与训练的服务器端和客户端生成相应的联邦学习训练

日志，可了解服务器以及每个客户端的运行情况。

### 6.3.1 服务器端日志

服务器端日志会记录服务器的状态信息，允许连接客户端的最大数量，已连接的客户端 ip，运行状态信息（开始联邦学习、聚合模型、下发模型等）等信息，其记录的部分内容如图 6-8 所示。

```
INFO] PS[26834.710a728e7740.python]:2023-06-14-22:36:42.659.998 [mindspore/ccsrc/ps/core/abstract_node.cc:1340] InitNodeNum] The worker num:0, the server num:1, the scheduler ip:192.168.63.128, the scheduler port:6667
INFO] PS[26834.710a728e7740.python]:2023-06-14-22:36:42.664.698 [mindspore/ccsrc/ps/core/communicator/tcp_server.cc:165] Init] The max connection is:10000
INFO] PS[26834.710a728e7740.python]:2023-06-14-22:36:42.665.047 [mindspore/ccsrc/ps/core/abstract_node.cc:1330] InitNodeInfo] The node role:SERVER is generate uid is:0, the ip:192.168.63.128, the port:37659
INFO] PS[26834.710a728e7740.python]:2023-06-14-22:36:42.665.161 [mindspore/ccsrc/ps/core/abstract_node.cc:1422] operator[]] The server node start a tcp server!
INFO] PS[26834.710a728e7740.python]:2023-06-14-22:36:42.665.112 [mindspore/ccsrc/ps/core/server_node.cc:57] Initialize] Server start: 2. Server node create tcp server successfull!
INFO] PS[26834.710a728e7740.python]:2023-06-14-22:36:42.665.216 [mindspore/ccsrc/ps/core/communicator/tcp_server.cc:202] Start] Start tcp server!
INFO] PS[26834.710a728e7740.python]:2023-06-14-22:36:42.672.042 [mindspore/ccsrc/ps/core/communicator/tcp_client.cc:107] Init] SSL is disable.
INFO] PS[26834.710a728e7740.python]:2023-06-14-22:36:42.673.139 [mindspore/ccsrc/ps/core/abstract_node.cc:1076] operator[]] The node start a tcp client!
INFO] PS[26834.710a728e7740.python]:2023-06-14-22:36:42.673.234 [mindspore/ccsrc/ps/core/communicator/tcp_client.cc:219] NotifyConnected] Client connected to the server!
INFO] PS[26834.710a728e7740.python]:2023-06-14-22:36:42.673.379 [mindspore/ccsrc/ps/core/communicator/tcp_client.cc:256] EventCallbackInner] Client connected!
INFO] PS[26834.710a728e7740.python]:2023-06-14-22:36:42.680.876 [mindspore/ccsrc/ps/core/communicator/tcp_client.cc:107] Init] SSL is disable.
INFO] PS[26834.710a728e7740.python]:2023-06-14-22:36:42.681.249 [mindspore/ccsrc/ps/core/abstract_node.cc:1047] InitClientToServer] The node start a tcp client to this node!
INFO] PS[26834.710a728e7740.python]:2023-06-14-22:36:42.681.294 [mindspore/ccsrc/ps/core/server_node.cc:55] Initialize] Server start: 3. Server node create tcp client to scheduler successfull!
INFO] PS[26834.710a728e7740.python]:2023-06-14-22:36:42.681.422 [mindspore/ccsrc/ps/core/abstract_node.cc:38] Register] The node role:SERVER the node id:0 begin to register to the scheduler!
INFO] PS[26834.710a728e7740.python]:2023-06-14-22:36:42.681.771 [mindspore/ccsrc/ps/core/communicator/tcp_client.cc:219] NotifyConnected] Client connected to the server!
INFO] PS[26834.710a728e7740.python]:2023-06-14-22:36:42.681.815 [mindspore/ccsrc/ps/core/communicator/tcp_client.cc:256] EventCallbackInner] Client connected!
INFO] PS[26834.710a728e7740.python]:2023-06-14-22:36:42.703.713 [mindspore/ccsrc/ps/core/communicator/tcp_server.cc:277] ListenerCallbackInner] SSL is disable.
INFO] PS[26834.710a728e7740.python]:2023-06-14-22:36:42.703.810 [mindspore/ccsrc/ps/core/communicator/tcp_server.cc:308] ListenerCallbackInner] A client is connected, fd is 15
INFO] PS[26834.710a728e7740.python]:2023-06-14-22:36:42.711.796 [mindspore/ccsrc/ps/core/communicator/tcp_server.cc:277] ListenerCallbackInner] SSL is disable.
INFO] PS[26834.710a728e7740.python]:2023-06-14-22:36:42.711.886 [mindspore/ccsrc/ps/core/communicator/tcp_server.cc:308] ListenerCallbackInner] A client is connected, fd is 16
INFO] PS[26834.710a728e7740.python]:2023-06-14-22:36:42.711.884 [mindspore/ccsrc/ps/core/abstract_node.cc:46] Register] The node role:SERVER the node id:0 send register success!
INFO] PS[26834.710a728e7740.python]:2023-06-14-22:36:42.712.031 [mindspore/ccsrc/ps/core/server_node.cc:227] Start] Server start: 4. The node role:SERVER the node id:0 successfully registered to the scheduler!
INFO] PS[26834.710a728e7740.python]:2023-06-14-22:36:42.712.067 [mindspore/ccsrc/ps/core/abstract_node.cc:647] StartHeartbeatTimer] The node role: SERVER, the node id:0, the node rank id:4294967295 begin send heartbeat to the scheduler!
INFO] PS[26834.710a728e7740.python]:2023-06-14-22:36:42.712.237 [mindspore/ccsrc/ps/core/server_node.cc:31] Start] Server start: 5. Server start heartbeat timer!
INFO] PS[26834.710a728e7740.python]:2023-06-14-22:36:42.712.275 [mindspore/ccsrc/ps/core/node.cc:29] WaitForStart] The node id:0 is Waiting for start!
INFO] PS[26834.710a728e7740.python]:2023-06-14-22:36:42.712.402 [mindspore/ccsrc/ps/core/abstract_node.cc:1461] ProcessPrepareBuildingNetwork] prepare for building network success.
INFO] PS[26834.710a728e7740.python]:2023-06-14-22:36:42.716.155 [mindspore/ccsrc/ps/core/abstract_node.cc:56] ProcessRegisterResp] The node id get from scheduler id:0, rank id:0
INFO] PS[26834.710a728e7740.python]:2023-06-14-22:36:42.716.217 [mindspore/ccsrc/ps/core/abstract_node.cc:74] ProcessRegisterResp] The node id:0 registered scheduler success!
INFO] PS[26834.710a728e7740.python]:2023-06-14-22:36:42.716.335 [mindspore/ccsrc/ps/core/abstract_node.cc:716] ProcessHeartbeatResp] cluster change state from:CLUSTER_STARTING to CLUSTER_READY
INFO] PS[26834.710a728e7740.python]:2023-06-14-22:36:42.716.433 [mindspore/ccsrc/ps/core/abstract_node.cc:1431] UpdateClusterState] [state]: Cluster state change from:CLUSTER_STARTING to CLUSTER_STARTING
INFO] PS[26834.710a728e7740.python]:2023-06-14-22:36:42.717.132 [mindspore/ccsrc/ps/core/abstract_node.cc:626] ProcessSendMetadata] The send metadata worker num:0, server num:1, cluster state is:CLUSTER_STARTING, the rank id:0
INFO] PS[26834.710a728e7740.python]:2023-06-14-22:36:42.718.985 [mindspore/ccsrc/ps/core/node.cc:34] operator[]] The node id:0 is success start!
INFO] PS[26834.710a728e7740.python]:2023-06-14-22:36:42.719.085 [mindspore/ccsrc/ps/core/server_node.cc:38] Start] Server start: 6. Successfully start server node!
INFO] FL[26834.710a728e7740.python]:2023-06-14-22:36:42.719.503 [mindspore/ccsrc/ps/server/server.cc:468] StartCommunicator] This server rank is 0
INFO] FL[26834.710a728e7740.python]:2023-06-14-22:36:42.719.565 [mindspore/ccsrc/ps/server/server.cc:470] StartCommunicator] Start communicator with worker.
INFO] PS[26834.710a728e7740.python]:2023-06-14-22:36:42.719.598 [mindspore/ccsrc/ps/core/communicator/tcp_communicator.cc:25] Start] The TCP communicator has already started.
INFO] PS[26834.710a728e7740.python]:2023-06-14-22:36:42.719.656 [mindspore/ccsrc/ps/core/communicator/http_communicator.cc:26] Init] Initialize http server IP:192.168.63.128, PORT:6668
INFO] PS[26834.710a728e7740.python]:2023-06-14-22:36:42.728.875 [mindspore/ccsrc/ps/core/communicator/http_server.cc:96] InitServer] Bind ip:192.168.63.128 port:6668 successfull!
INFO] PS[26834.710a728e7740.python]:2023-06-14-22:36:42.728.983 [mindspore/ccsrc/ps/core/communicator/http_request_handler.cc:78] Init] Start! Start http server!
INFO] PS[26834.710a728e7740.python]:2023-06-14-22:36:42.729.211 [mindspore/ccsrc/ps/core/communicator/http_request_handler.cc:78] Initialize] Ev http register handle of:pushMetrics success.
INFO] PS[26834.710a728e7740.python]:2023-06-14-22:36:42.729.262 [mindspore/ccsrc/ps/core/communicator/http_request_handler.cc:78] Initialize] Ev http register handle of:getModel success.
INFO] PS[26834.710a728e7740.python]:2023-06-14-22:36:42.729.296 [mindspore/ccsrc/ps/core/communicator/http_request_handler.cc:78] Initialize] Ev http register handle of:pushWeight success.
INFO] PS[26834.710a728e7740.python]:2023-06-14-22:36:42.729.336 [mindspore/ccsrc/ps/core/communicator/http_request_handler.cc:78] Initialize] Ev http register handle of:updateModel success.
INFO] PS[26834.710a728e7740.python]:2023-06-14-22:36:42.729.357 [mindspore/ccsrc/ps/core/communicator/http_request_handler.cc:78] Initialize] Ev http register handle of:pullWeight success.
INFO] PS[26834.710a728e7740.python]:2023-06-14-22:36:42.729.389 [mindspore/ccsrc/ps/core/communicator/http_request_handler.cc:78] Initialize] Ev http register handle of:startFlab success.
```

图 6-8 服务器端部分日志信息

### 6.3.2 客户端日志

客户端日志会记录客户端设备的状态信息，本地训练过程中的 loss 值等信息，其记录的部分内容如图 6-9 所示。

```
[WARNING] ME(3423689:140252576708416,MainProcess):2023-06-20-09:53:14.227.511 [mindspore/dataset/core/validator_helpers.py:806] 'RandomCrop' from mindspore.dataset.vision.c_transforms is deprecated from version 1.8 and will be removed in a future version. Use 'RandomCrop' from mindspore.dataset.vision instead.
[WARNING] ME(3423689:140252576708416,MainProcess):2023-06-20-09:53:14.227.722 [mindspore/dataset/core/validator_helpers.py:806] 'RandomHorizontalFlip' from mindspore.dataset.vision.c_transforms is deprecated from version 1.8 and will be removed in a future version. Use 'RandomHorizontalFlip' from mindspore.dataset.vision instead.
[WARNING] ME(3423689:140252576708416,MainProcess):2023-06-20-09:53:14.227.795 [mindspore/dataset/core/validator_helpers.py:806] 'Resize' from mindspore.dataset.vision.c_transforms is deprecated from version 1.8 and will be removed in a future version. Use 'Resize' from mindspore.dataset.vision instead.
[WARNING] ME(3423689:140252576708416,MainProcess):2023-06-20-09:53:14.227.864 [mindspore/dataset/core/validator_helpers.py:806] 'Rescale' from mindspore.dataset.vision.c_transforms is deprecated from version 1.8 and will be removed in a future version. Use 'Rescale' from mindspore.dataset.vision instead.
[WARNING] ME(3423689:140252576708416,MainProcess):2023-06-20-09:53:14.227.937 [mindspore/dataset/core/validator_helpers.py:806] 'Normalize' from mindspore.dataset.vision.c_transforms is deprecated from version 1.8 and will be removed in a future version. Use 'Normalize' from mindspore.dataset.vision instead.
[WARNING] ME(3423689:140252576708416,MainProcess):2023-06-20-09:53:14.228.000 [mindspore/dataset/core/validator_helpers.py:806] 'HWC2CHW' from mindspore.dataset.vision.c_transforms is deprecated from version 1.8 and will be removed in a future version. Use 'HWC2CHW' from mindspore.dataset.vision instead.
[WARNING] ME(3423689:140252576708416,MainProcess):2023-06-20-09:53:14.228.033 [mindspore/dataset/core/validator_helpers.py:806] 'TypeCast' from mindspore.dataset.transforms.c_transforms is deprecated from version 1.8 and will be removed in a future version. Use 'TypeCast' from mindspore.dataset.transforms instead.
epoch: 1 step: 1875, loss is 1.1589325822698529
epoch: 2 step: 1875, loss is 1.0256959522848682
epoch: 3 step: 1875, loss is 0.8659841235410585
epoch: 4 step: 1875, loss is 0.7548793321562582
epoch: 5 step: 1875, loss is 0.7022589324545586
epoch: 6 step: 1875, loss is 0.6023589635842595
```

图 6-9 客户端部分日志信息

## 7 系统创新点和应用前景

### 7.1 系统创新点

该基于联邦学习的车联网系统的创新之处主要包括以下方面：

**联邦学习技术的应用：**该系统采用了联邦学习技术，将多个本地设备的数据进行分布式学习，避免了数据集中式学习中存在的数据泄露和数据安全问题。联邦学习技术能够使得数据不离开本地设备，在保护用户隐私的同时，还能够提高系统的可扩展性和鲁棒性。

**隐私保护算法的应用：**该系统采用了基于差分隐私的隐私保护算法，能够有效保护用户的隐私数据。传统的数据集中式学习模式往往需要将数据上传到云端进行处理，会存在隐私泄露的风险。而该系统通过在本地设备上进行差分隐私加噪处理，将处理后的数据上传到云端，实现了数据的隐私保护。

**模型压缩算法的应用：**该系统采用了模型压缩算法，能够将模型参数的大小压缩到原来的几十分之一，降低了数据传输成本和延迟，提高了系统的实时性和可用性。同时，模型压缩算法也能够有效减少模型的计算和存储量，提高了系统的性能和效率。

**多任务学习的应用：**该系统可以同时分心驾驶检测和路面目标识别任务，实现了多任务学习。多任务学习能够使得多个任务之间进行信息共享和联合训练，提高了系统的泛化能力和效率。

**智能化决策的应用：**该系统采用了联邦学习和机器学习算法，对车辆行驶数据和交通数据进行分析和挖掘，实现了智能化的驾驶辅助和交通管理决策，为驾驶员和城市交通管理提供更加精准、个性化的服务。

**异构设备的支持：**该系统能够支持不同型号、不同操作系统的设备参与联邦学习，实现了异构设备的支持。异构设备的支持能够扩大系统的适用范围，提高系统的兼容性和通用性。

**可解释性机器学习的应用：**该系统采用了可解释性机器学习技术，能够对模型的预测结果进行解释和分析，提高了系统的可靠性和信任度。可解释性机器学习技术也能够为驾驶员和交通管理部门提供更加直观和可理解的决策支持。

**自适应交互界面的应用：**该系统采用了自适应交互界面技术，能够根据不同用户的需求和喜好进行界面定制，提高了系统的用户体验和满意度。自适应交互界面技术还能够提供更加人性化和智能化的交互方式，为用户提供更加方便和舒适的使用体验。

该系统的创新之处主要包括了隐私保护算法、模型压缩算法、联邦学习技术、多任务学习和智能化决策等方面，能够为车联网系统的发展提供新思路和新方向。

## 7.2 系统应用场景

该系统可能应用于以下场景：

**车辆行驶监控：**通过分心驾驶检测和路面目标识别功能，该系统可以监测驾驶员是否分心，以及路面上的行人、车辆等目标。通过联邦学习，各个车辆可以共同训练模型，从而提高模型的准确性和可靠性，进而提高车辆行驶监控的效果。

**交通安全预警：**通过联邦学习，车辆可以共同学习交通安全预警模型，包括车辆碰撞预警、车辆变道预警、交通信号灯预警等，从而提高交通安全性。

**实时导航：**该系统可以通过路面目标识别功能，实时识别路面上的车辆、行人等，进而提供实时导航和路况预测服务，以提高车辆的驾驶效率和安全性。

**车联网数据分析：**通过联邦学习，各个车辆可以共同学习模型，提供车联网数据分析服务，例如实时交通流量监测、车辆行驶轨迹分析等，以帮助城市规划和交通管理。

**车辆自动驾驶：**该系统可以通过联邦学习，将多个车辆的行驶数据进行聚合，训练出更加准确的自动驾驶模型。同时该系统还可以通过分布式学习和联邦学习技术，避免车辆间的数据传输和数据泄露问题，保护用户隐私，提高自动驾驶安全性和可靠性。

**智慧物流：**该系统可以通过联邦学习和路面目标识别功能，提供实时路况监测和配送路径规划，为物流企业提供更加高效、智能的物流服务。同时该系统还可以分析物流数据，提供优化物流运作、降低成本等服务，为物流企业提供全方位的数据支持。

综上所述，该基于联邦学习的车联网系统可以应用于多个场景，提供实时、高效、智能的服务，为驾驶员、城市交通管理、物流企业等提供数据支持和决策参考。

## 7.3 系统应用前景和发展方向

该系统基于联邦学习的车联网应用具有广阔的应用前景和发展方向，主要表现在以下几个方面：

**促进车辆安全：**随着车联网技术的发展，越来越多的车辆将实现互联互通，而车联网系统可以应用在分心驾驶检测和路面目标识别等方面，为驾驶员提供实时的安全提示和预警，从而减少交通事故的发生。

**提高驾驶体验：**车联网系统可以通过实时交通信息的传输和车辆自主导航的实现，为驾驶员提供更加便捷和高效的驾驶体验。而基于联邦学习的车联网系统还可以根据驾驶员的行为模式和偏好进行驾驶模式的优化和个性化的驾驶服务。

**降低油耗和排放：**车联网系统可以通过实时的交通信息和路况信息的获取和分析，优化车辆的行驶路线和行驶速度，降低油耗和排放。



**个性化服务的实现：**车联网系统可以通过收集驾驶员的行为数据和偏好信息，为驾驶员提供个性化的服务和推荐，例如个性化的导航、音乐、电子商务等服务。

**优化城市交通：**车联网系统可以通过实时的交通信息和路况信息的获取和分析，优化城市交通，减少拥堵和排放，提高交通效率和城市居民的出行体验。

**支持智能城市建设：**车联网系统可以与智能城市建设相结合，为城市居民提供更加智能化、便捷化和个性化的出行服务和城市生活服务。

**融合新兴技术：**随着新兴技术的不断涌现，基于联邦学习的车联网系统还可以与区块链、物联网、5G 等技术相结合，实现更加安全、高效、可靠的数据传输和处理，为车联网应用开辟更广阔的空间。

**多元化应用场景：**基于联邦学习的车联网系统不仅可以应用在个人车辆中，还可以应用在公共交通、物流、农业等领域，为更多行业和人群提供定制化的服务和解决方案。

**破解数据孤岛：**车联网系统可以通过联邦学习的方法，将分散在不同地方的数据集合并起来，形成更加完整和准确的数据，从而破解数据孤岛的问题，推动数据资源的共享和开放。

**发展方向：**随着车联网技术的不断发展，基于联邦学习的车联网系统还可以向更加智能化、自主化和安全化的方向发展。例如，基于联邦学习的车联网系统可以与人工智能、自动驾驶等技术结合，实现更加自主化的驾驶和服务，同时也需要考虑隐私保护和数据安全等方面的问题。



## 8 总结

该系统基于联邦学习的车联网应用具有多方面的优势和创新点，可以提高车辆安全、提高驾驶体验优化城市交通、支持智能城市建设等多个方面的应用。同时，该系统还具有多种发展方向和应用场景，可以应用在个人车辆、公共交通、物流、农业等多个领域，为不同行业和人群提供定制化的服务和解决方案。基于联邦学习的隐私保护算法和模型压缩算法，可以在保证数据安全和隐私保护的同时，提高模型训练的效率 and 准确性。

随着人工智能技术的不断发展和创新，该基于联邦学习的车联网系统可以进一步实现以下发展方向和应用：

**多模态信息融合：**车联网系统可以通过将多种信息进行融合，如视频、语音、文本等，形成更加全面和准确的数据，提高模型的训练效果和精度。

**自动驾驶技术：**车联网系统可以结合自动驾驶技术，实现更加智能和自动化的驾驶体验，提高驾驶效率和安全性。

**区块链技术：**车联网系统可以结合区块链技术，实现数据共享和数据交换，保证数据的可信性和安全性，促进多方数据合作和创新。

**边缘计算：**车联网系统可以通过边缘计算技术，将数据处理和模型训练等计算任务移到边缘设备上进行，降低网络延迟和数据传输的成本，提高系统的效率和性能。

综上所述，基于联邦学习的车联网系统具有多种优势和创新点，可以为车辆安全、驾驶体验等方面提供全面的解决方案。随着人工智能技术的不断发展和创新，车联网系统还有多种发展方向和应用，可以进一步提高系统的性能和效率，为人们带来更加智能、安全和可持续的驾驶体验。